



Министерство науки и высшего образования Российской Федерации
Федеральное государственное бюджетное образовательное учреждение
высшего образования
«Московский государственный технический университет
имени Н.Э. Баумана
(национальный исследовательский университет)»
(МГТУ им. Н.Э. Баумана)

Факультет: «Специальное машиностроение»

Кафедра: «Робототехнические системы и мехатроника»

Лабораторная работа № 2

по курсу «Теория автоматического управления»

Вариант 5

Выполнил: Садовец Роман
Группа: СМ7-62Б

Проверил(а):

Москва, 2024 г.

1. Работа с фазовыми портретами двумерной систем

1.1. Построение фазового портрета системы

В данном пункте мы будем строить фазовый портрет функции, представленный в таблице 1.

5	$\ddot{x} - \dot{x} - x^2 + 5\sin(0.3x^2) = 0$
---	--

Табл 1. Дифференциальное уравнение системы для 5-го варианта

Зададим для данного уравнения фазовые переменные:

$$x_1 = x; x_2 = \dot{x}_1 = \dot{x}$$

Подставив переменные в исходное уравнение, а также переписав уравнение в виде системы (т.е. переписываем систему естественным образом), получим:

$$\begin{cases} \frac{dx_1}{dt} = x_2 \\ \frac{dx_2}{dt} = x_2 + x_1^2 - 5\sin(0.3 * x_1^2) \end{cases} \quad (1)$$

Следующим пунктом является отображение фазового портрета системы. Для этого потребуются адаптация прилагаемого к лабораторной работе файлов. В первую очередь запишем систему (1) в виде функции Matlab.

```
function dxdt = model(t, x)
% Define the nonlinear, continuous-time, state-space model
% t is the time;
% x is the vector of state coordinates

dxdt(1,:) = x(2,:);
dxdt(2,:) = x(2,:) + x(1,:).^2 - 5 .* sin( 0.3 * x(1,:).^2);

end
```

Воспользуемся готовыми скриптами отрисовки системы дифференциального уравнения, а именно файлами **прорисовки системы дифференциальных уравнений (plotLocus.m)**, **прорисовки направлений векторов (направление передвижения) фазового портрета (plotQuiver.m)**, а также **отслеживание выходов за пределы сетки (outOfBounds.m)**. Все указанные файлы и наработки можно просмотреть на удаленном репозитории

GitHub, директория Lab-2/2D-plot/Code (см. прил. 1). Важное замечание – файлы были немного скорректированы для более удобного отображения информации.

Назначаем размер сетки 5x5 с шагом 0.8. Далее запускаем программу для системы (1). Получим фазовый портрет, представленный на рисунке 1. Время симуляции составило $t = 1.6$ сек.

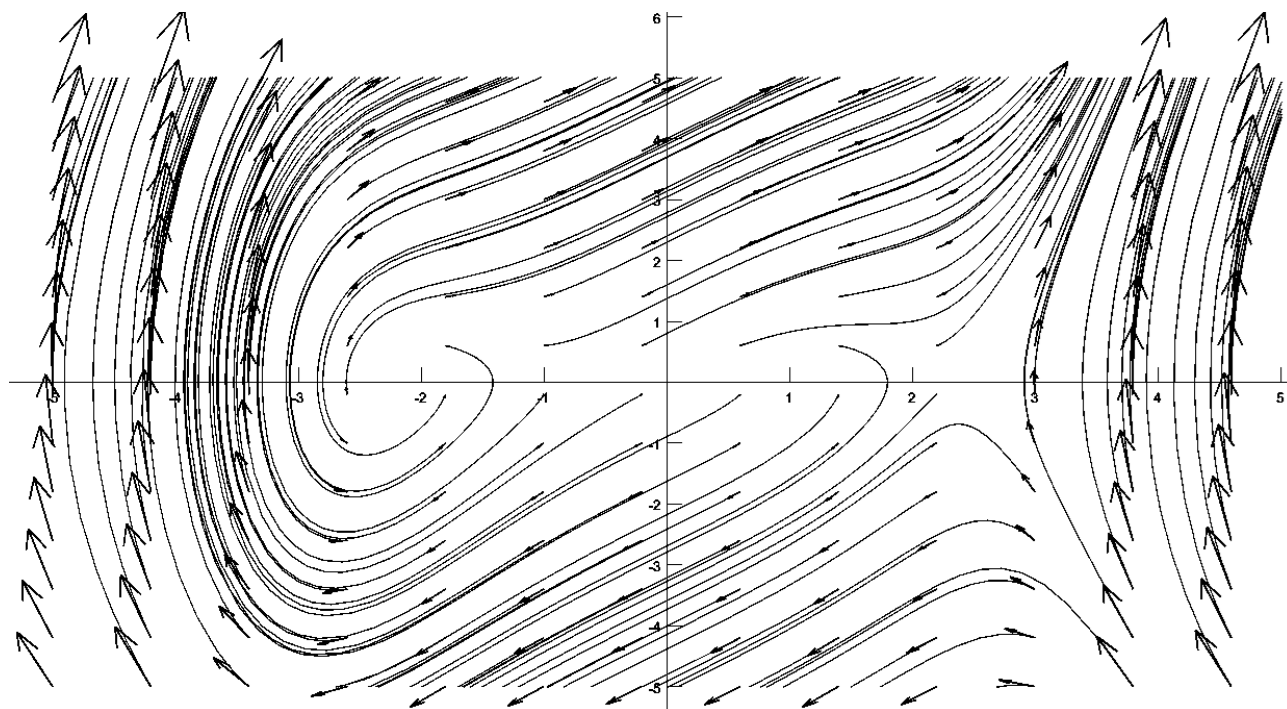


Рис 1. Фазовый портрет системы дифференциальных уравнений (1), построенный с помощью кода

Второй способ построения фазового портрета системы – это использование средств Simulink. Все разрабатываемые файлы будем располагать в директории Lab-2/2D-plot/Simulink.

Вновь воспользуемся прилагаемыми к лабораторной работе файлами, а именно **файлами отрисовки (plotLocus.m), файлами инициализации системы (simInitSet.m), файлом запуска прорисовки (main.m), а также отладочную модель в среде Simulink (SimulinkMain.slx).**

Основная задача – создание подсистемы, описывающую систему дифференциальных уравнений (1). Такая система имеет вид, представленный на рисунке 2.

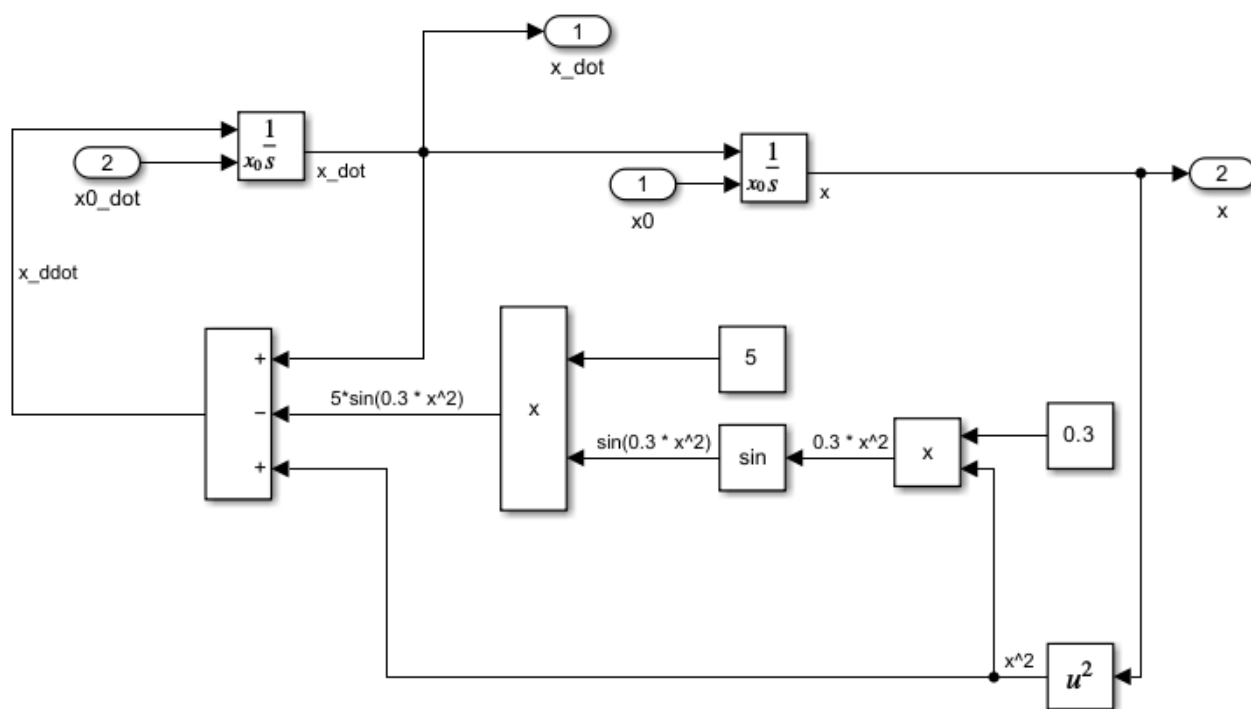


Рис 2. Представление системы дифференциальных уравнений (1) в виде подсистемы в среде разработки Simulink

Назначаем размер сетки 8 X 8 с шагом 0.5, максимальное время моделирования 10 секунд. Время симуляции составило $t = 235.976$ сек.

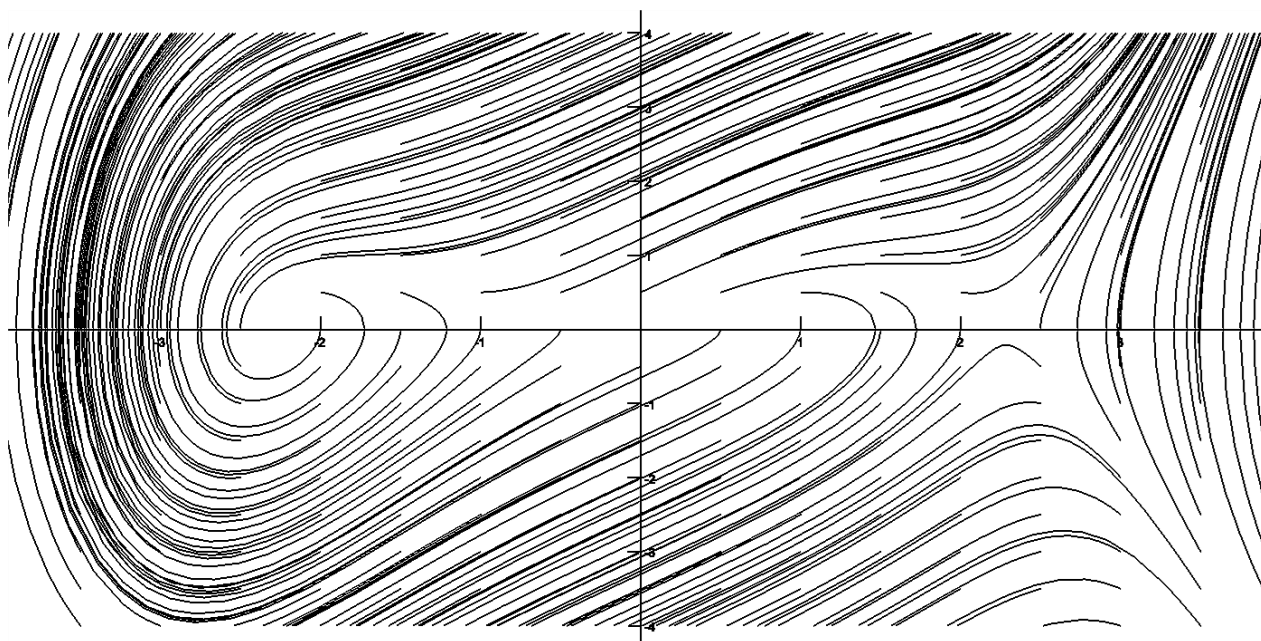


Рис 3. Фазовый портрет системы дифференциальных уравнений (1), построенный с помощью Simulink модели

Определим особые точки дифференциальной системы уравнений (1) и их тип.

Для нахождения особых точек приравняем производные к нулю. Тогда получаем:

$$\begin{cases} x_2 = 0 \\ x_2 + x_1^2 - 5 \sin(0.3 * x_1^2) = 0 \end{cases} \quad (2)$$

Из системы (2) явно можно выделить одну особую точку – (0; 0). Однако остальные определить затруднительно - необходимо найти решение уравнения $x_1^2 - 5 \sin(0.3 * x_1^2) = 0$, что является нетривиальной задачей. Для упрощения можно заметить, что все особые точки обязаны лежать на оси абсцисс x_1

Воспользуемся средствами MatLab и фазовым портретом (рис. 1) для нахождения особых точек. Заметим по рисунку 1, что существуют ещё как минимум две особые точки – около координат (-2.5; 0) и (2.5;). Для более точного решения воспользуемся функцией **fsolve(fun, x0)**, предназначенную для решения систем нелинейных уравнений, где задачей является нахождение координат (значений переменных) при равенстве функции нулю $\text{fun}(x) = 0$. Реализация представлена в скрипте **FindZeros.m**

```
options = optimoptions('fsolve','Display','none');
[z, fval] = fsolve(@model, [x1, x2], options); % Search zeros of
function

Out = ['x1 = ', num2str( z(1,1) ), '; x2 = ', num2str( z(1,2) )];
disp(Out) % Output to command window

%% User functions
function f = model( x )
% Searching zeros of system with non-linear equations
f(1) = x(2);
f(2) = x(2) + x(1)^2 - 5 * sin( 0.3 * x(1)^2);
end
```

Подставляем наши примерные точки в данный код и получаем более точные координаты особых точек. Тогда имеем 3 особые точки, имеющие координаты:

$$\begin{aligned} A & (0; 0); \\ B & (-2.2329; 0); \\ C & (2.2329; 0); \end{aligned} \quad (3)$$

По фазовому портрету (рис. 1) можно четко определить и тип особых точек: $B (-2.2329; 0)$ – **неустойчивый фокус**; $C (2.2329; 0)$ – **седло**. Для точки $A (0; 0)$ так легко сказать нельзя, поэтому для этой точки произведем линеаризацию:

$$\begin{cases} \frac{d(\Delta x_1)}{dt} = \Delta x_2 \\ \frac{d(\Delta x_2)}{dt} = \Delta x_1 \end{cases} \rightarrow \begin{bmatrix} 0 & 1 \\ 1 & 0 \end{bmatrix}; \begin{vmatrix} -\lambda & 1 \\ 0 & 1 - \lambda \end{vmatrix} = 0 \rightarrow \lambda_1 = 0; \lambda_2 = 1; \quad (4)$$

Поскольку $\lambda_2 > 0$, а также собственные корни действительны, положительны, то точка $A (0; 0)$ – **неустойчивый узел**.

Получим локальные фазовые портреты для каждое из особых точек (рис. 4 – 6).

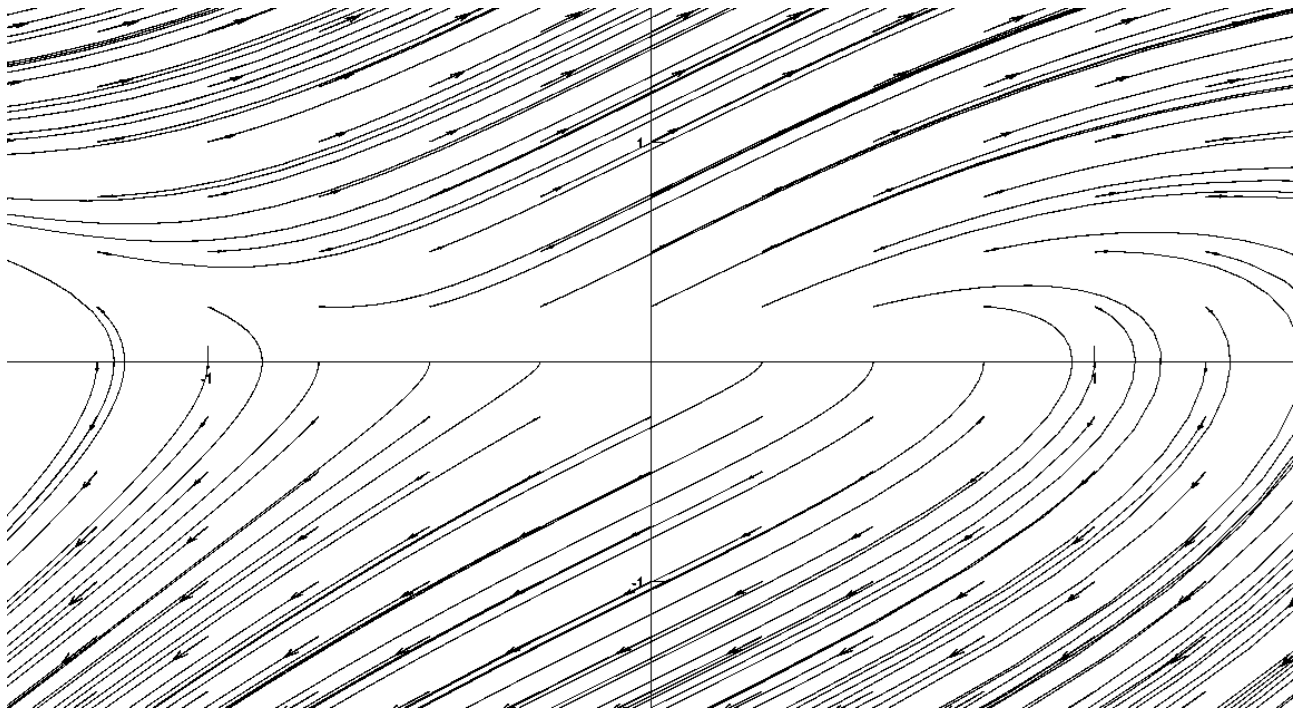


Рис 4. Локальный фазовый портрет для особой точки $A (0; 0)$

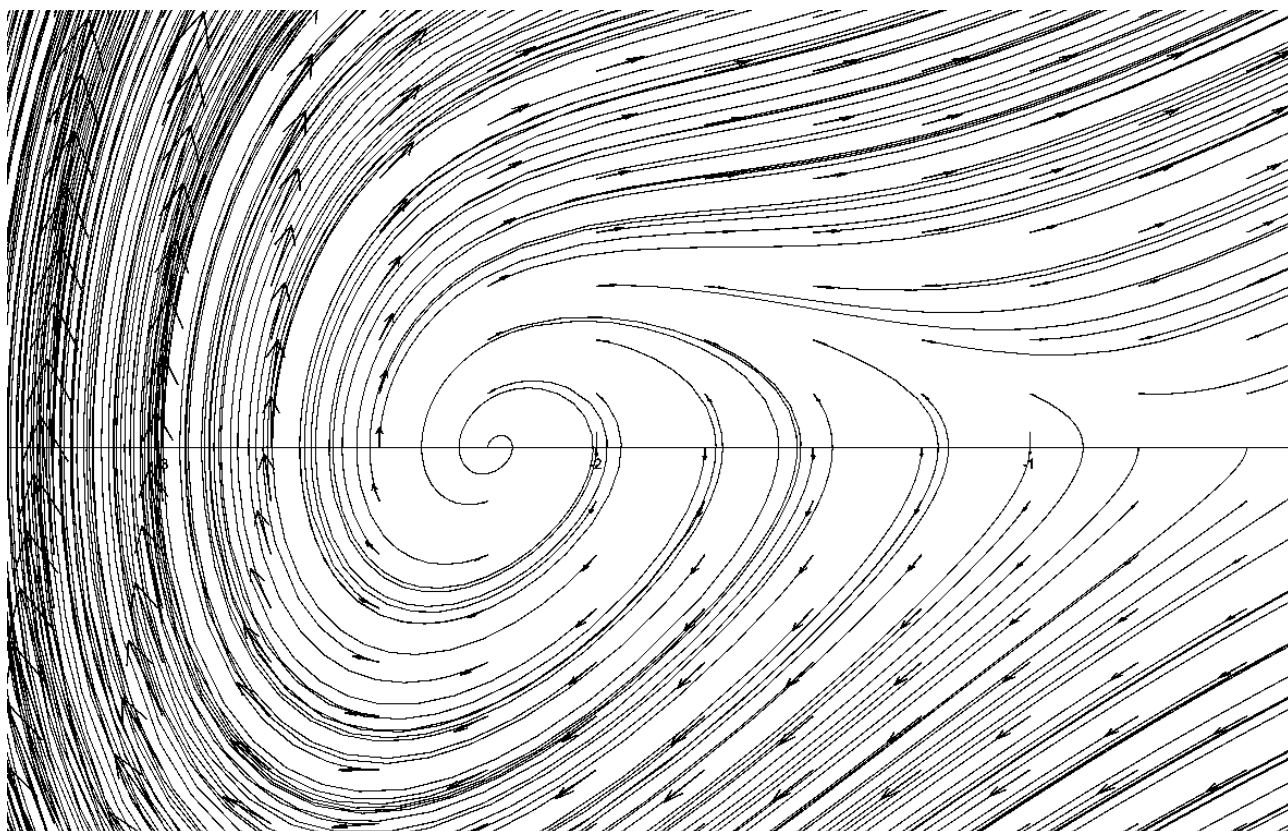


Рис 5. Локальный фазовый портрет для особой точки $B (-2.2329; 0)$

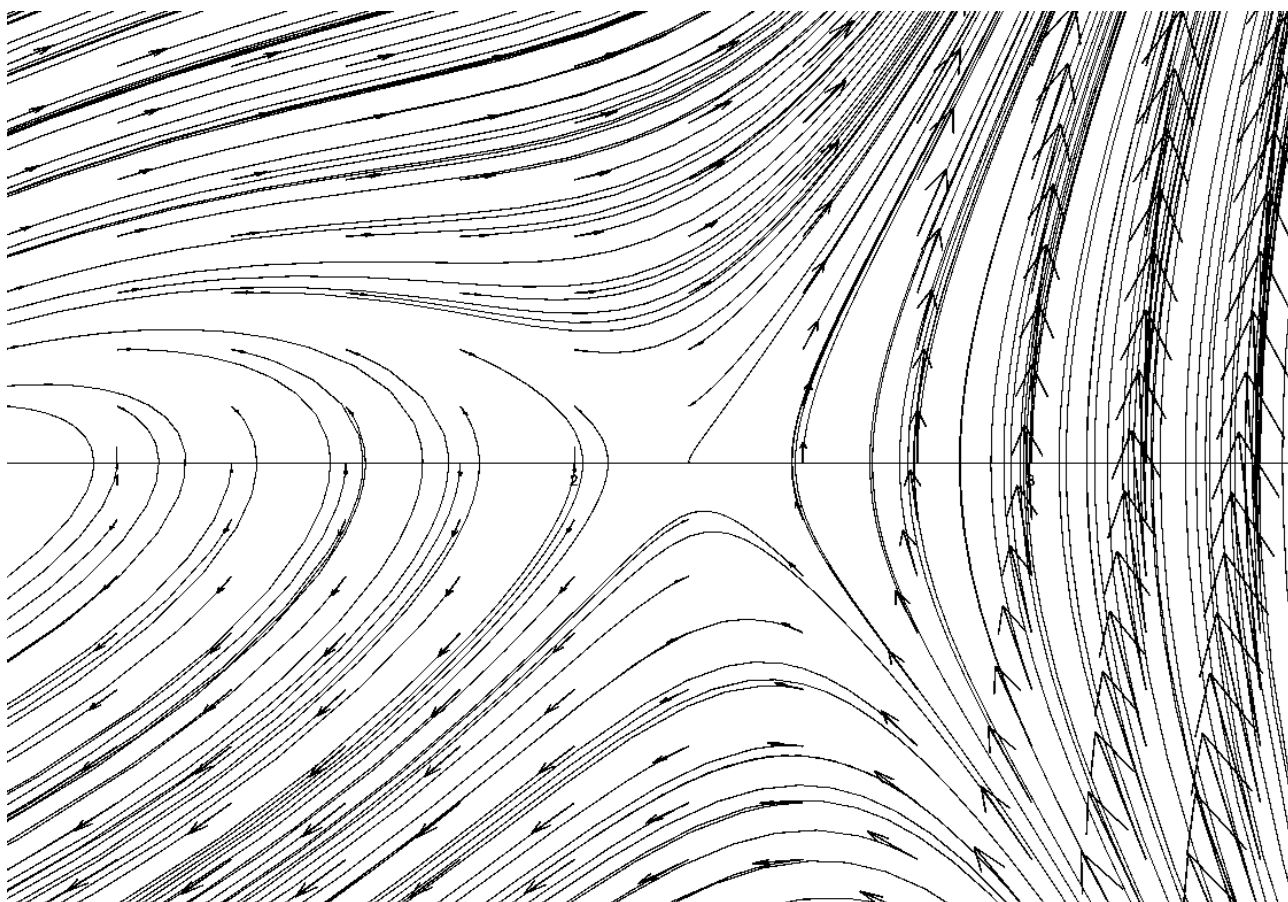


Рис 6. Локальный фазовый портрет для особой точки $C (2.2329; 0)$

1.2. Построение фазового портрета системы с вырожденной особой точкой

В данном пункте мы будем строить фазовый портрет функции с вырожденной особой точкой, представленной в таблице 2.

A	$\ddot{x} - \sin(x)\dot{x} - \ln(1 + x^2) = 0$
---	--

Табл 2. Дифференциальное уравнение системы с вырожденной точкой

Зададим для данного уравнения фазовые переменные:

$$x_1 = x; x_2 = \dot{x}_1 = \dot{x}$$

Подставив переменные в исходное уравнение, а также переписав уравнение в виде системы (т.е. переписываем систему естественным образом), получим:

$$\begin{cases} \frac{dx_1}{dt} = x_2 \\ \frac{dx_2}{dt} = \sin(x_1) * x_2 + \ln(1 + x_1^2) \end{cases} \quad (5)$$

Следующим пунктом является отображение фазового портрета системы (рис. 7, 8). Для этого потребуются адаптация прилагаемого к лабораторной работе файлов. В первую очередь запишем систему (5) в виде функции Matlab.

```
function dxdt = FuncWithDegeneratePoints(t, x)
% Define function with degenerate points

dxdt(1,:) = x(2,:);
dxdt(2,:) = sin( x(1,:) ) .* x(2,:) + log( 1 + x(1,:) .^ 2);

end
```

Вырожденной особой точкой называется такая точка такой системы, собственные значения которой совпадают между собой (кратны), т.е. в линеаризованной системе у особой точки присутствует лишь **один собственный вектор**. Попробуем найти особые точки системы (5).

$$\begin{cases} x_2 = 0 \\ \sin(x_1) * x_2 + \ln(1 + x_1^2) = 0 \end{cases} \quad (6)$$

Получим, что $\ln(1 + x_1^2) = 0 \rightarrow$ особая точка A (0; 0)

Попробуем линеаризовать систему:

$$\begin{cases} \frac{d(\Delta x_1)}{dt} = \Delta x_2 \\ \frac{d(\Delta x_2)}{dt} = \sin(\Delta x_1) * \Delta x_2 + \ln(1 + \Delta x_2^2) \end{cases} \rightarrow \begin{cases} \frac{d(\Delta x_1)}{dt} = \Delta x_2 \\ \frac{d(\Delta x_2)}{dt} = 0 \end{cases} \rightarrow$$

$$\rightarrow \begin{bmatrix} 0 & 1 \\ 0 & 0 \end{bmatrix}; \begin{vmatrix} -\lambda & 1 \\ 0 & -\lambda \end{vmatrix} = 0 \rightarrow \lambda_{1,2} = 0; \quad (7)$$

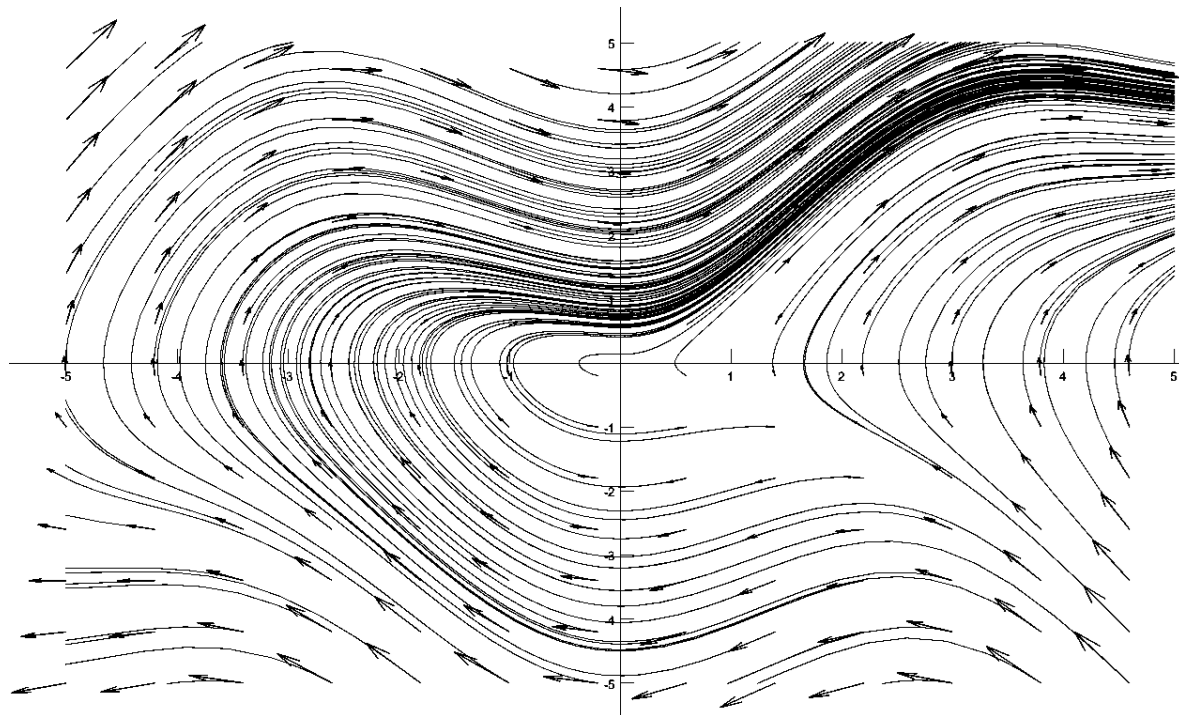


Рис 7. Фазовый портрет системы с вырожденной особой точкой

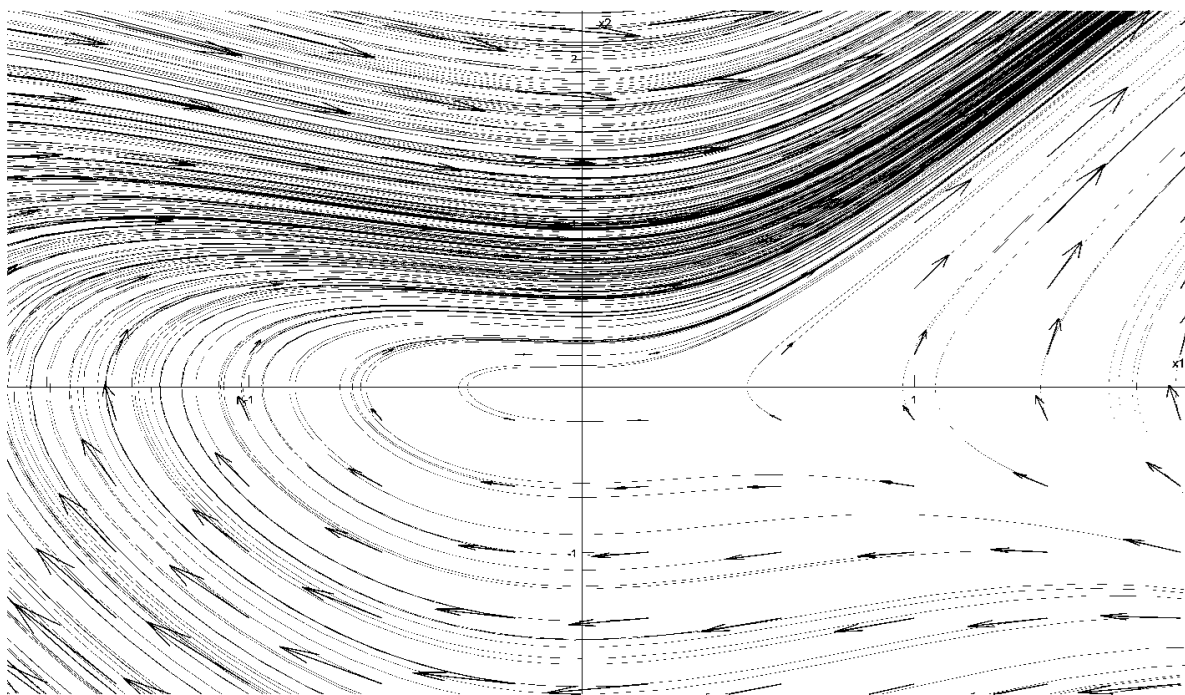


Рис 8. Фазовый портрет системы с вырожденной особой точкой в окрестности точки (0;0).

1.3. Построение фазового портрета системы с континуумом особых точек

В данном пункте мы будем строить фазовый портрет функции с континуумом особых точек, представленной в таблице 3.

Б	$\ddot{x} - \dot{x}^4 x - \dot{x} = 0$
---	--

Табл 3. Дифференциальное уравнение системы с вырожденной точкой

Зададим для данного уравнения фазовые переменные:

$$x_1 = x; x_2 = \dot{x}_1 = \dot{x}$$

Подставив переменные в исходное уравнение, а также переписав уравнение в виде системы (т.е. переписываем систему естественным образом), получим:

$$\begin{cases} \frac{dx_1}{dt} = x_2 \\ \frac{dx_2}{dt} = x_2^4 * x_1 + x_2 \end{cases} \quad (8)$$

Следующим пунктом является отображение фазового портрета системы (рис. 9). Для этого потребуется адаптация прилагаемого к лабораторной работе файлов. В первую очередь запишем систему (5) в виде функции Matlab.

```
function dxdt = FuncWithSingularPoints(t, x)
% Define function wit singular points

dxdt(1,:) = x(2,:);
dxdt(2,:) = x(2,:) .^ 4 .* x(1,:) + x(2,:);

end
```

Попробуем найти особые точки системы (8).

$$\begin{cases} x_2 = 0 \\ x_2^4 * x_1 + x_2 = 0 \end{cases} \quad (9)$$

Получим, что x_1 может принимать любое значение, лежащее в области действительных чисел. На основе этого можно сказать, что все особые точки системы (8) лежат на оси Ox_1 , а значит вся ось Ox_1 является «особенной». Это же можно увидеть и по фазовому портрету систему (рис.9)

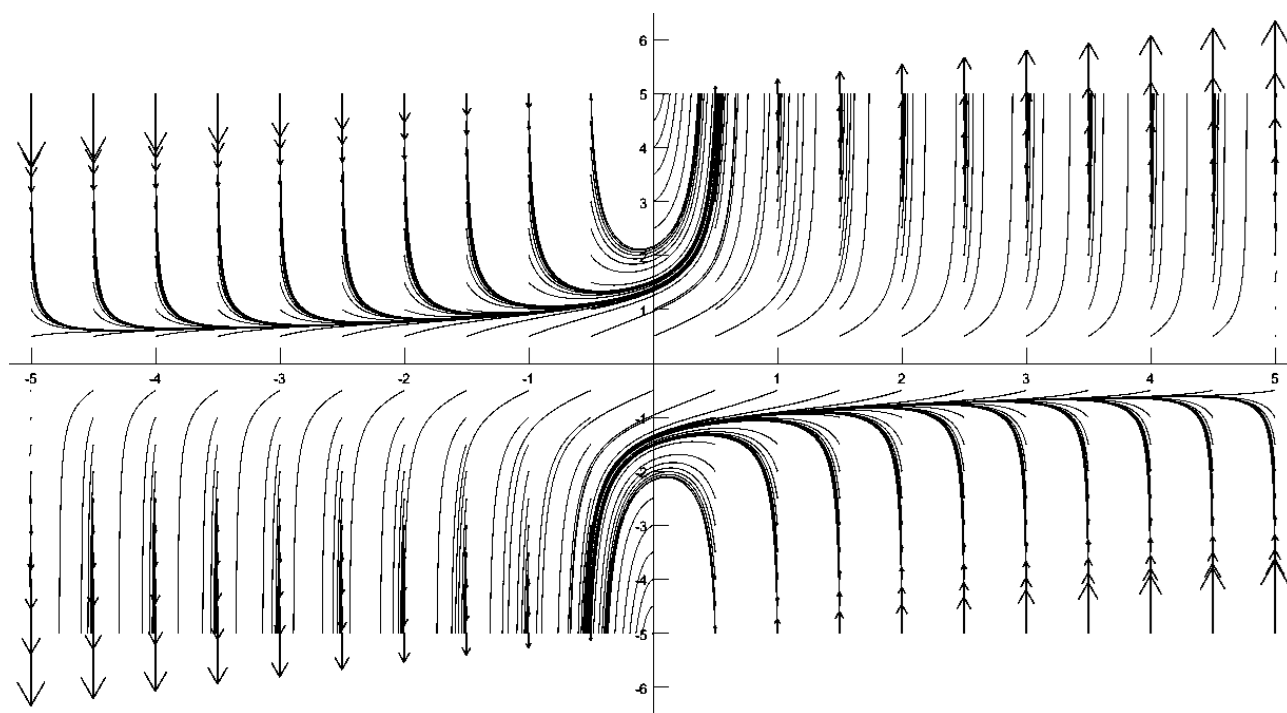


Рис 9. Фазовый портрет системы с континуумом особых точек

2. Построение фазовых траекторий трехмерных систем

В данной главе необходимо построить фазовое представление автономной системы дифференциальных уравнений третьего порядка. Рассматриваемая система называется **уравнениями Рабиновича-Фабриканта** и выглядит следующий образом:

$$\begin{cases} \frac{dx}{dt} = y(z - 1 + x^2) + \gamma x \\ \frac{dy}{dt} = x(3z + 1 - x^2) + \gamma y, \\ \frac{dz}{dt} = -2z(\alpha + xy) \end{cases} \quad (10)$$

где α , γ – параметры системы.

Необходимо построить график данной системы дифференциальных уравнений в трехмерном пространстве \mathbb{R}_3 со следующими начальными условиями:

А) $\alpha = 0.05$; $\gamma = 0.1$; $x_0 = 0.1$; $y_0 = -0.1$; $z_0 = 0.1$

Б) $\alpha = 1.1$; $\gamma = 0.87$; $x_0 = -1$; $y_0 = 0$; $z_0 = 0.5$

Перенесем уравнения (10) в MatLab

```
function dxdt = model(t, x, ALPHA, GAMMA)
% Rabinovich-Fabrikant equations

dxdt(1,:) = x(2,:) .* ( x(3,:) - 1 + x(1,:).^2 ) + GAMMA .* x(1,:);
dxdt(2,:) = x(1,:) .* ( 3 * x(3,:) + 1 - x(1,:).^2 ) + GAMMA .*
x(2,:);
dxdt(3,:) = -2 * x(3,:) .* ( ALPHA + x(1,:) .* x(2,:) );

end
```

Также внесем основные константы и начальные условия для системы.

```
tic; % Start timer

v = [0.1; -0.1; 0.1]; % Starting position
GAMMA = 0.1; ALPHA = 0.05; % Parameters of equation

TMAX = 100; % Time of modeling

dxdt = @(t, x) model(t, x, ALPHA, GAMMA);
plotLocus(v, dxdt, TMAX); % Plot portrait

toc; % Stop timer
```

Скрипт **plotLocus.m** для системы выглядит следующим образом

```
function plotLocus(v0, dxdt, tmax)
% Function that sketches a phase portrait of a dynamical system

figure("Name","Rabinovich-Fabrikant");
hold on;
title('Rabinovich-Fabrikant equations')
xlabel('x');
ylabel('y');
zlabel('z');
colororder(["#8040E6";"#1AA640";"#E68000"]);
tspan = [0, tmax]; % Time of modeling

% Solver parameters
[~, z] = ode23t(dxdt, tspan, v0, odeset('RelTol',1e-3));
plot3( z(:, 1), z(:, 2), z(:, 3)); % Plotting

hold off
end
```

Выведем полученные графики (рис. 10, 11).

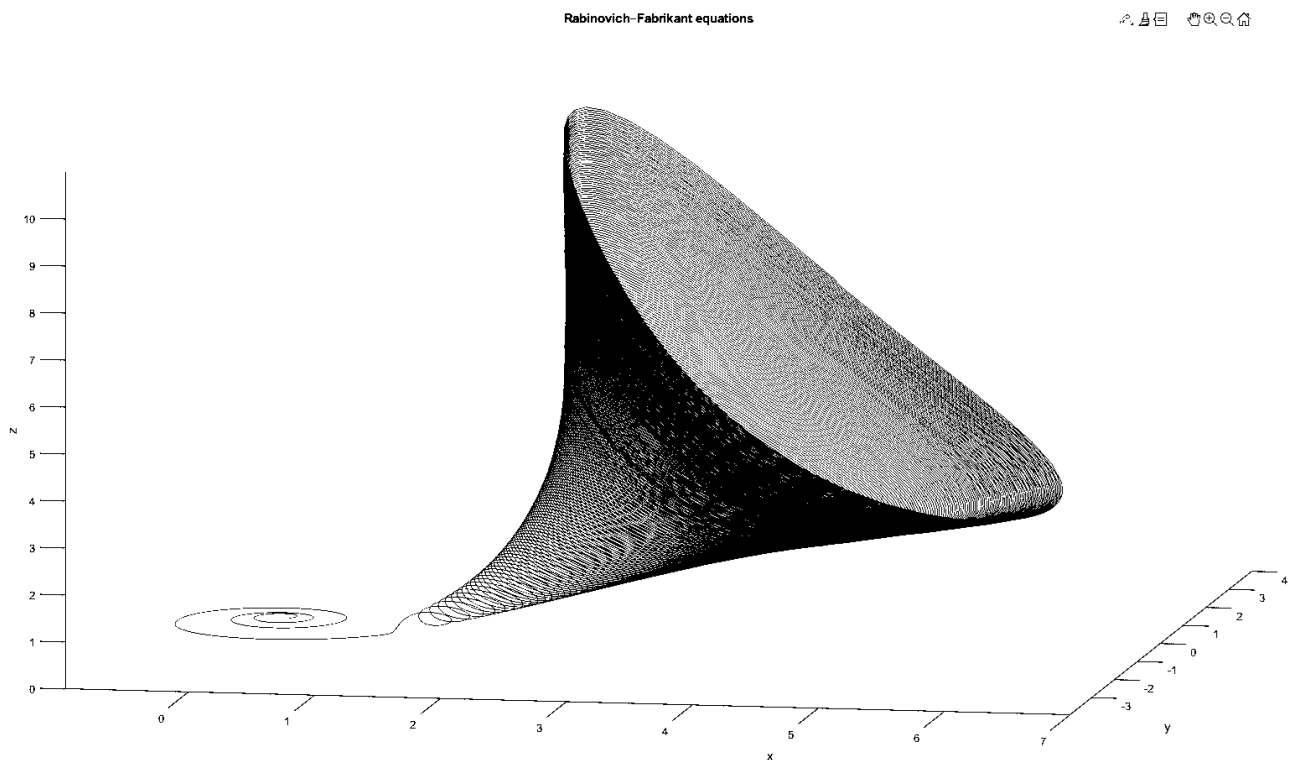


Рис 10. График системы дифференциальных уравнений Рабиновича-Фабриканта (3-х координатная) со значением переменных из пункта А

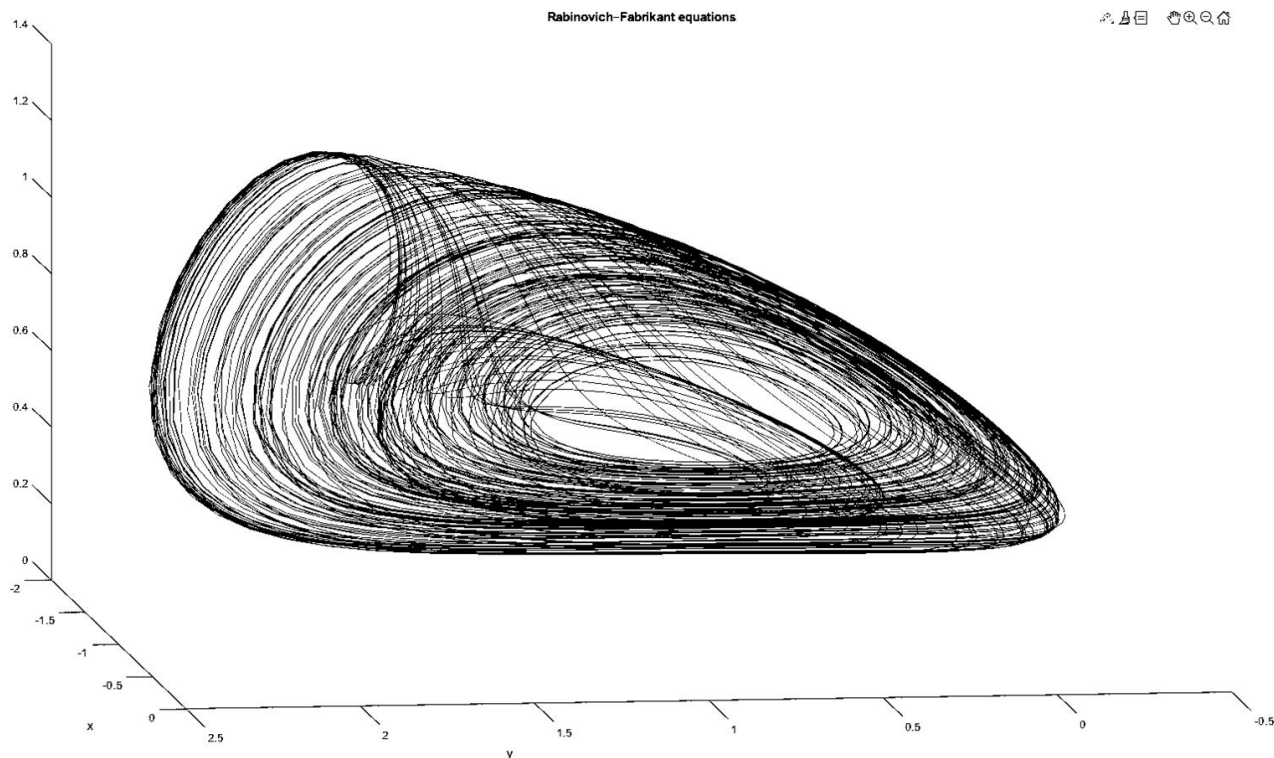


Рис 11. График системы дифференциальных уравнений Рабиновича-Фабриканта (3-х координатная) со значением переменных из пункта Б

Попробуем построить график системы (рис. 12) со следующими параметрами системы:

В) $\alpha = 0.6$; $\gamma = 0.2$; $x_0 = -0.5$; $y_0 = 0$; $z_0 = 0.5$

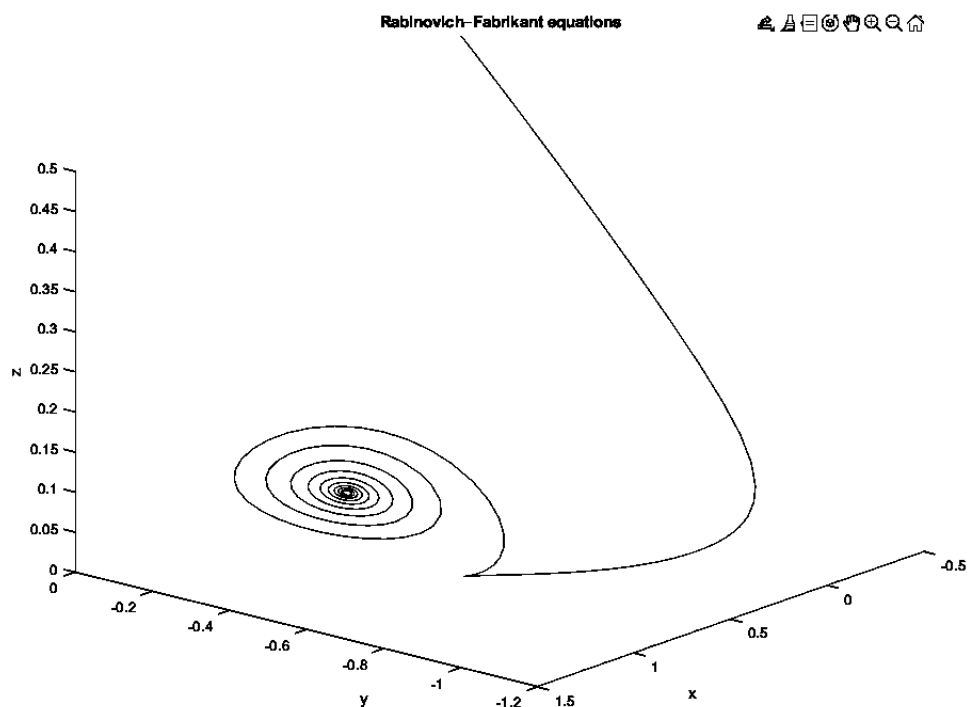


Рис 12. График системы дифференциальных уравнений Рабиновича-Фабриканта (3-х координатная) со значением переменных из пункта В

3. Построение фазовых траекторий нестационарных систем

3.1. Хаотичность уравнений Рабиновича-Фабриканта

В этом пункте необходимо определить хаотичность системы дифференциальных уравнений Рабиновича-Фабриканта (10), рассмотренных пунктом ранее.

Перед началом моделирования определим понятие нестационарной системы. **Нестационарная система** — это система с переменными параметрами или даже структурой. При математическом описании нестационарной системы это проявляется в том, что некоторые коэффициенты описывающего ее дифференциального уравнения являются функциями времени.

В соответствии с данным определением, **реакция нестационарной системы на одно и то же воздействие зависит от момента времени приложения этого воздействия.**

В качестве начальных условия положим:

$$\alpha = 0.05; \gamma = 0.1; x_0 = 0.1; y_0 = -0.1; z_0 = 0.1,$$

Для определения хаотичности системы, введём некоторую сходящуюся последовательность чисел, которая будет определять радиус δ — сферы, на поверхности которой мы будем выбирать начальные условия для нашей системы и далее искать пределе расстояния между исходным графиком и совокупностью системы с различными начальными условиями.

В первую очередь напишем программу, которая строит массив расстояний между различными точками траектории

```
function ro = RangeBetweenPoints( x, y )
%   RANGE BETWEEN POINTS calculate distance between two points on graph

rows = min( size(x,1), size(y,1) );

ro = eye(size(x,1), 1);
for i = 1:rows
```

```

        sum = 0;
        for j = 1:size(x, 2)
            sum = sum + ( y(i, j) - x(i, j) ).^2;
        end
        ro(i, 1) = sqrt( sum );
    end
end
end

```

Вторым шагом – напишем программу, которая считает хаотичность внутри δ – сферы и выводит массив хаотичности для различных радиусов.

```

function H = Chaotic( n, int, v0, dxdt, TMAX, z0)
% CHAOTIC in search chaotic parameters of system with
% differential equations
%% Input
% n - order of convergent sequence ( d = { 1/10^1, 1/10^2 ... 1/10^n }
% )
% int - quantity of points around start point ( we will be
% calculate other phase trajectories based on this points)
% v0 - initial point
% dxdt - system of differential equations;
% TMAX - ending time
% z0 - (x1, x2, x3) coordinates of initial phase trajectory
%% Output
% H - massiv with maximal distances between starting phase trajectory
% and secondary trajectory on the delta-sphere

    tspan = [0, TMAX];                % Time of modeling

    seq = eye(n,1);
    for i = 1:n
        seq(i,1) = 1/10^(i-1);        % Generate convergent
        % sequence delta^n
    end

    H = eye(1, n);
    for i = 1:n

        ro = 0;                        % Maximal distance on delta sphere

        %Works in sphrecil coordinates system
        theta = transpose( linspace(0, 2 * pi, int) ); % Angle
        phi = transpose( linspace(0, 2 * pi, int) );
        % 0x coordinates on the delta-sphere
        x_res = v0(1,1) + seq(i,1) .* sin(theta) .* cos(phi);
        % 0y coordinates on the delta-sphere
        y_res = v0(1,2) + seq(i,1) .* sin(theta) .* sin(phi);
        % 0z coordinates on the delta-sphere
        z_res = v0(1,3) + seq(i,1) .* cos(theta);
    end
end

```



```

%Reference points (mas of intermediate initial values)
refPoints = [ x_resch, y_resch, z_resch ];

for j = 1:size(refPoints, 2)
    [~, z] = ode23t(dxdt, tspan, refPoints(j,:), ...
        odeset('RelTol',1e-3));

    % RangeBetweenPoints( x1, x2 ) - calculating
    % distance between points of x1 and x2 massive with
coordinates
    % dist - maximal range between starting trajectory
    % and intermediate trajectory
    dist = max( RangeBetweenPoints( z, z0 ) );

    % Search max range on the delta-sphere
    if dist > ro
        ro = dist;
    end
end

H(1, i) = ro;

end
end

```

Запустим нашу программу и выведем полученные значения хаотичности в некоторой малой окрестности начальных условий (рис. 13). Как видно на рисунке, наша последовательность сходиться, т.е. при стремлении функции к заданным начальным условиям хаотичность уменьшается. Это значит, что наша система является **нехаотичной**. Это же подтверждается и тем фактом, что система уравнений Рабиновича-Фабриканта является по определению автономной, т.е. стационарной

1	2	3	4	5	6	7	8	9	10
100.4905	22.1102	7.9560	8.8206	8.9653	8.3127	4.6238	7.8910	6.9932	6.1253

11	12	13	14	15	16	17	18	19	20
0.0213	0.0056	0.0036	0.0034	0.0036	0.0033	0.0017	6.4347e-04	0	0

Рис 13. Хаотичность системы Рабиновича-Фабриканта при стремлении к начальному условию

Вывод: система уравнений Рабиновича-Фабриканта является стационарной, **система нехаотична**

Решение находится в директории: Non-stationary/First_part

3.2. Определение хаотичности произвольной нестационарной системы

На входе имеем следующее дифференциальное уравнение:

$$\ddot{x} + \dot{x} + x = f(t), \quad (11)$$

где $f(t)$ – некоторая функция, изменяющая своё значение в зависимости от времени

Зададим для данного уравнения фазовые переменные:

$$x_1 = x; \quad x_2 = \dot{x}_1 = \dot{x}$$

Подставив переменные в исходное уравнение, а также переписав уравнение в виде системы, получим:

$$\begin{cases} \frac{dx_1}{dt} = x_2 \\ \frac{dx_2}{dt} = f(t) - \dot{x} - x \end{cases} \quad (12)$$

Предлагается рассмотреть следующие функции:

А) Противоположные импульсы

$$f(t) = \begin{cases} 1, & t \in [2k, 2k + 1) \\ -1, & t \in [2k + 1, 2k + 2) \end{cases}, k \in Z \quad (13)$$

Б) Противоположные линейные кусочки

$$f(t) = \begin{cases} t, & t \in [2k, 2k + 1) \\ -t, & t \in [2k + 1, 2k + 2) \end{cases}, k \in Z \quad (14)$$

В) Веселый синус

$$f(t) = \sin\left(\frac{1}{t+10^{-7}}\right) \quad (15)$$

Перепишем систему (12) с учетом уравнений (13) – (15) в MatLab

```
function dxdt = opposingImpulse(t, x)
% Define opposing impulse function

if mod( round( t - 0.5 ) , 2) == 0 || t == 0
    dxdt(1,:) = x(2,:);
    dxdt(2,:) = 1 - x(2,:) - x(1,:);
else
```

```

        dxdt(1,:) = x(2,:);
        dxdt(2,:) = -1 - x(2,:) - x(1,:);
    end

end

function dxdt = opposingLines(t, x)
% Define opposing linear lines function

    if mod( round( t - 0.5 ) , 2) == 0 || t == 0
        dxdt(1,:) = x(2,:);
        dxdt(2,:) = t - x(2,:) - x(1,:);
    else
        dxdt(1,:) = x(2,:);
        dxdt(2,:) = -t - x(2,:) - x(1,:);
    end
end

function dxdt = funnySinus(t, x)
% Define funnySinus function

    dxdt(1,:) = x(2,:);
    dxdt(2,:) = sin(1/(t+10^(-7))) - x(2,:) - x(1,:);

end

```

В дальнейшем с этими уравнениями необходимо произвести III действия.
Будем идти по порядку с каждой из вариантов функции $f(t)$

I. Построить фазовую траекторию для нулевых начальных условий

Начальные условия: $x_0 = 0$; $y_0 = 0$; $z_0 = 0$, $\tau \in [0; 5]$

Построим графики для каждой из функций (рис. 14 – 16)

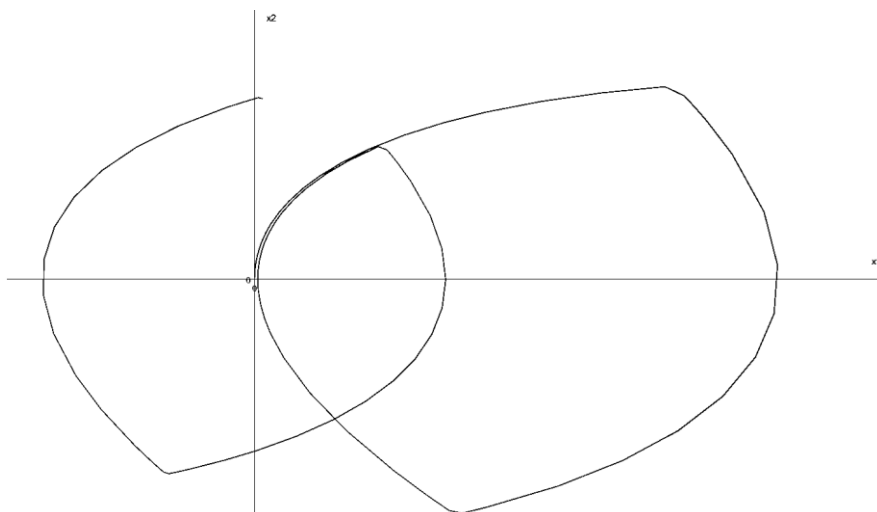


Рис 14. График противоположных импульсов (А)

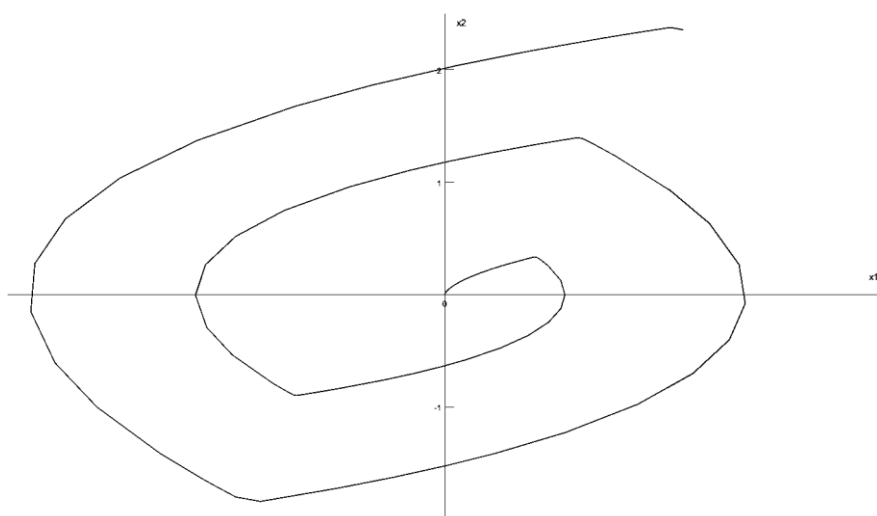


Рис 15. График противоположных линейных кусочков (Б)

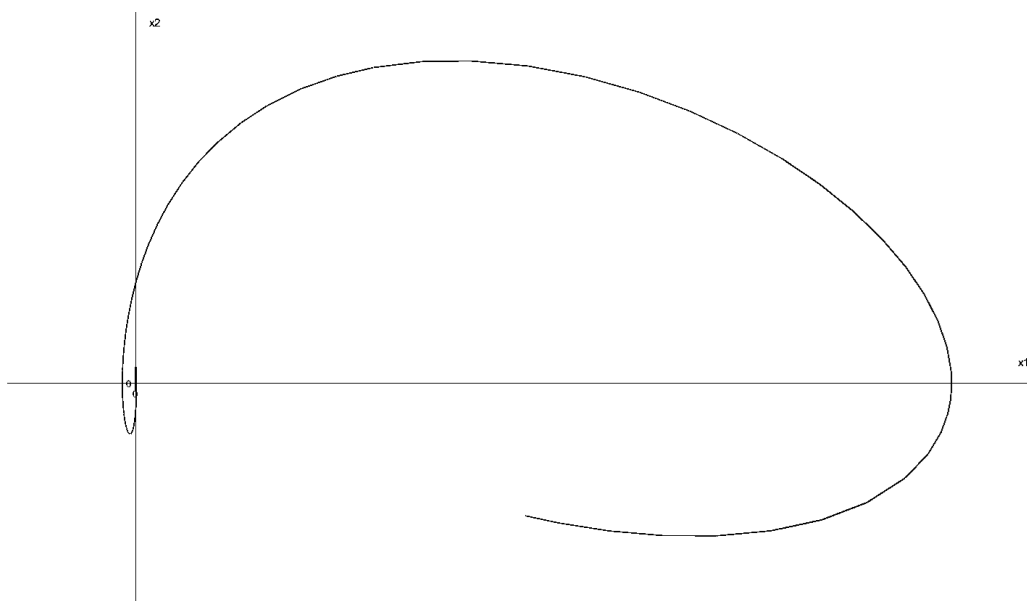


Рис 16. График веселого синуса (В)

II. Нарисовать quiver (локальные направления градиента фазового вектора) в окрестности фазовой траектории

Начальные условия оставляем неизменными.

Будем рисовать 5 локальных направлений вокруг каждой точки траектории, которую выводит солвер.

Вновь выведем три графика (рис. 17 – 19), но уже с направлениями локального градиента

```
function plotQuivers( t, z0, dzdt)
% Define the direction of phase lines and quiver near main line
% t - time of modeling
% z0 - (x1, x2) coordinates of base phase trajectory
% dzdt - system of differential equations

    hold on

    tspan = transpose(t);
    z = transpose(z0);

    for i = 1:size( tspan, 2 )
        for n = 1:5
            % Generate 5 random points around based coordinates
            v = z(:, i) + (rand( size(z,1), 1) - 0.5)./ 10;
            % Calculate dz/dt in this points
            u = transpose( dzdt( tspan(i), v(:, 1) ) ) ./ 15;
            % Plotting
            quiver( v(1, 1), v(2, 1), u(1, 1), u(1, 2), 'k');
        end
    end

    hold off

end
```

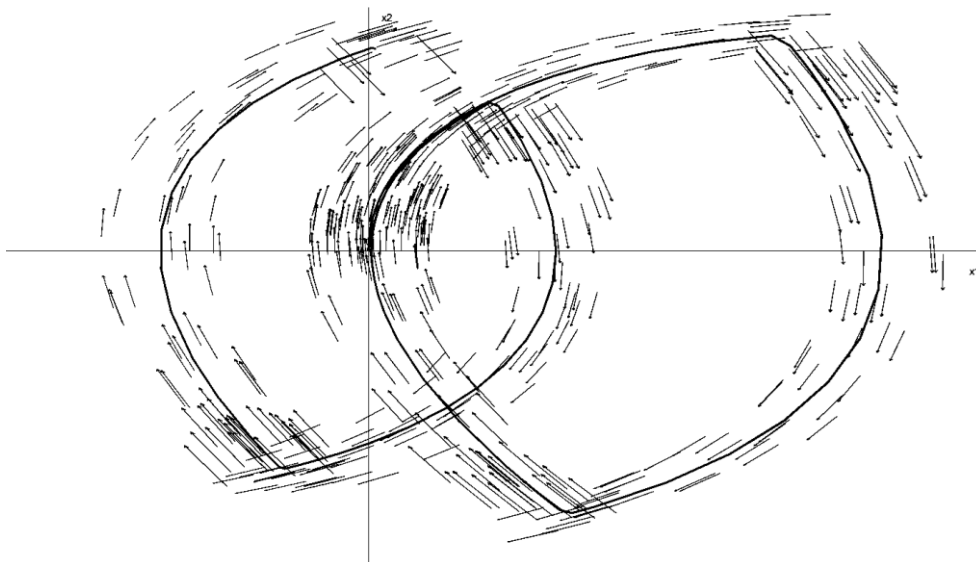


Рис 17. График противоположных импульсов с локальными направлениями (А)

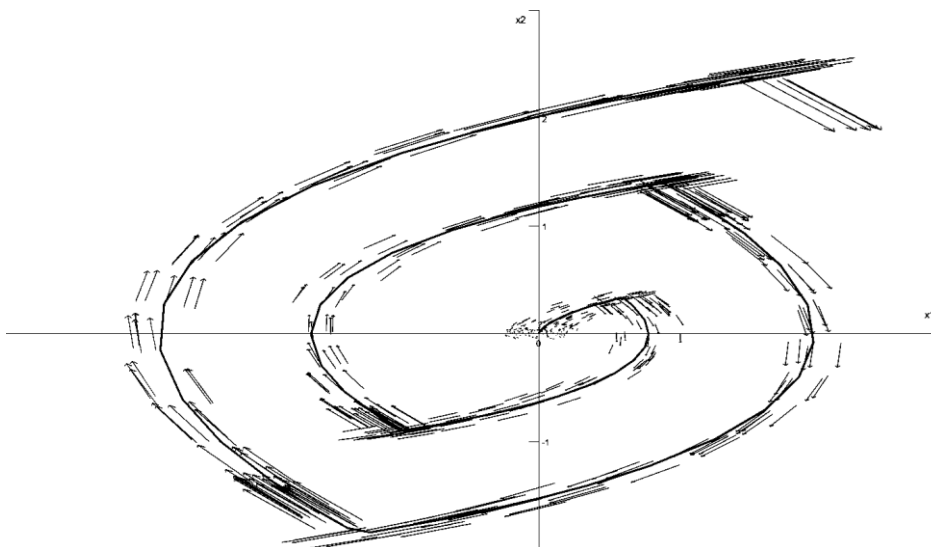


Рис 18. График противоположных линейных кусочков с локальными направлениями (Б)

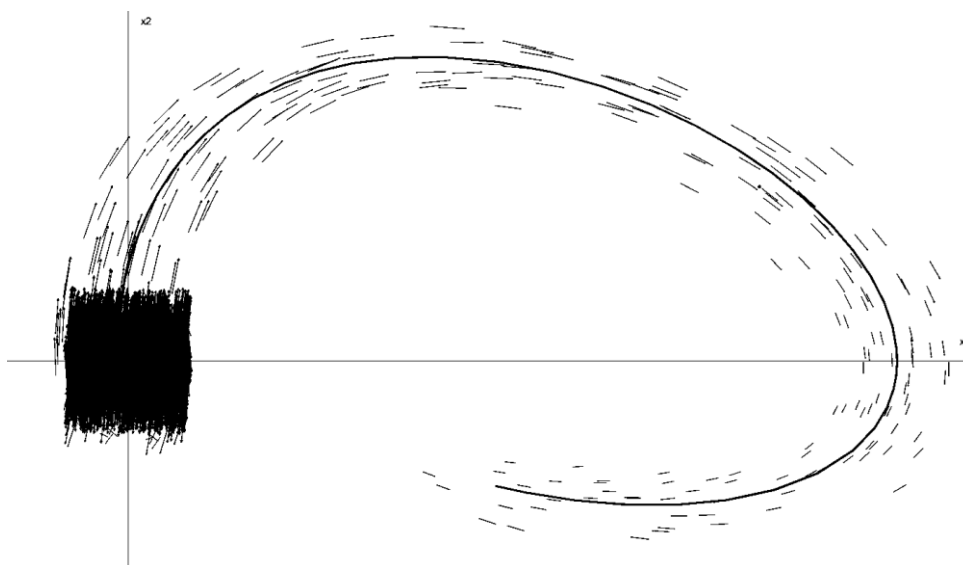


Рис 19. График веселого синуса с локальными направлениями (В)

III. Расчёт хаотичности систем

Для расчёта хаотичности системы напомним отдельную функцию, внутри которой создадим и сходящуюся последовательность с размерностью n .

```
function H = Chaotic( n, int, v0, dxdt, TMAX, z0)
% CHAOTIC in search chaotic parameters of system with
% differential equations
%% Input
% n - order of convergent sequence ( d = { 1/10^1, 1/10^2 ... 1/10^n })
% int - quantity of points around start point ( we will be
% calculate other phase trajectories based on this points)
% v0 - initial point
% dxdt - system of differential equations;
% TMAX - ending time
% z0 - (x1, x2) coordinates of phase trajectory
%% Output
% H - mas with maximal distances between starting phase trajectory
% and secondary trajectory on the delta-sphere

    tspan = [0, TMAX];                % Time of modeling

    seq = eye(n,1);
    for i = 1:n
        seq(i,1) = 1/10^(i-1);        % Generate convergent
        % sequence delta^n
    end

    H = eye(1, n);
    for i = 1:n

        ro = 0;                        % Maximal distance on delta sphere

        %Works in polar coordinates system
        theta = transpose( linspace(0, 2 * pi, int) ); % Angle
        % 0x coordinates on the delta-sphere
        x_res = v0(1,1) + seq(i,1) .* cos(theta);
        % 0y coordinates on the delta-sphere
        y_res = v0(1,2) + seq(i,1) .* sin(theta);

        %Reference points (mas of intermediate initial values)
        refPoints = [ x_res, y_res ];

        for j = 1:size(refPoints, 2)
            [~, z] = ode23t(dxdt, tspan, refPoints(j,:), ...
                odeset('RelTol',1e-3));

            % RangeBetweenPoints( x1, x2 ) - calculating
            % distance between points of x1 and x2
            % dist - maximal range between starting trajectory
```

```

        % and intermediate trajectory
        dist = max( RangeBetweenPoints( z, z0 ) );

        % Search max range on the delta-sphere
        if dist > ro
            ro = dist;
        end
    end

    H(1, i) = ro;

end
end

```

Тогда для систем получим следующие значения (рис. 20-22).

Первый строчка определяется номер числа в последовательности, второй – меру хаотичности для заданной δ – сферы

1	2	3	4	5	6	7	8	9	10
1.5476	0.8777	0.6191	0.1445	0.4182	5.0672e-04	3.3749e-04	2.1706e-04	3.2868e-07	3.2742e-08

Рис 20. Таблица значений хаотичности системы (А) при разных значениях δ

1	2	3	4	5	6	7	8	9	10
4.3133	3.9858	3.1461	0.9373	2.1251	0.9375	4.8663e-04	4.8675e-05	4.8670e-06	4.8685e-07

Рис 21. Таблица значений хаотичности системы (Б) при разных значениях δ

1	2	3	4	5	6	7	8	9	10
1.0093	0.6285	0.5137	0.6492	0.6487	0.6467	0.6944	0.5622	0.6467	0.6533

Рис 22. Таблица значений хаотичности системы (В) при разных значениях δ

На основе приведенных выше таблиц можно сделать вывод о том, что системы **противоположных импульсов** и **противоположных линейных кусочков** являются **не хаотическими в нулевой точке**, поскольку параметр хаотичности H стремиться к нулевому значению. В случае **веселого синуса** можно говорить об **ограниченной хаотичности**, поскольку её мера в случае системы (В) стремится к значению **0.65**

Приложение

1. Публичный репозиторий для лабораторных по ТАУ // GitHub URL:
<https://github.com/RiXenGC/Theory-of-Automatic-Control>